

## 履帶形状のけん引抵抗に及ぼす効果について

愛媛大学工学部 正員 室 達朗  
愛媛大学工学部 正員○河原 在一郎  
愛媛大学大学院 佐々木 一輔

1. まえがき 超軟弱地盤上を走行する履帶式作業車において、けん引力を得て、かつ、走行抵抗が小さくなるようなグローサ形状をみつけるために、種洋型、三角形型、トラクション型のグローサを持つ履帯モデルを製作し、超軟弱地盤上のけん引試験を行い、けん引抵抗、沈下量について、グローサ形状による影響を調べた。履帶式作業車の走行時のエネルギー解析を行ないグローサ形状によるけん引特性を明らかにした。

2. 試料土 カオリソ粘土を海水と重量比4対5で混合し試料箱( $100 \times 40 \times 10$ cm)に入れて10日間自重圧密したものを、超軟弱地盤のモデルとして用いた。このときの試料土の液性限界は49.4%，塑性限界は31.8%，含水比は108%である。またベーン試験結果<sup>1)</sup>より非排水強度 $C_u$ (kg/cm<sup>2</sup>)は、地表面よりの深さ $Z$ (cm)に対して次式で示される。  

$$C_u = 0.184 Z \quad (1)$$

3. 履帯モデルおよびけん引試験装置 図1に使用した履帯モデル(幅9cm)のグローサ高さ $h$ =4.5cmの場合の略図を示す。グローサ形状は4種類A,B,C,D。 $h$ は3.0, 4.5, 7.5cmとし、計11種類のモデルをアクリルで製作した。なおB,Cタイプは、三角グローサの側面を薄い焼化ビニールの板でふさいでいる。図2にけん引試験装置の概略図を示す。モータ軸に取り付けたトルクセル⑤とその下の直径30cmの円板⑥を回転させることにより、4個の定滑車と1個の動滑車を介してワイヤーを⑥で巻き取ることによって、履帯モデル④を水平にけん引するものである。けん引抵抗は、⑤によって検出した。またけん引速度は、0.50%である。

4. 試験方法および結果 各履帯モデルについて、海水中での平均基盤圧 $P$ を約2.0, 4.5, 8.0kg/cm<sup>2</sup>としてけん引試験を行った。B,Cタイプでは、グローサ内が空隙であるためその浮力分をモリを増加させて行った。けん引抵抗 $F$ 、沈下量 $S_d$ とけん引距離 $X$ との関係の一例として $h=4.5$ cm,  $P=4.5$ kg/cm<sup>2</sup>の場合の結果を図3に示す。一般に、 $F$ はDタイプが最も大きく、A,C,Bの順になつていこう。 $F$ についてDタイプが最も大きいのは、グローサ形状によりグローサ間の粘土を履帯側方へ押し出しあうとし、そのためグローサ間の粘土の側面摩擦抵抗が、他のタイプより大きくなるためであろう。またAタイプに比べ、グローサ面と粘土との接触面積が大きいので付着力が大きくなっているためであろう。B,CタイプがAタイプより $F$ が小さいのは、B,Cタイプの $S_d$ がAタイプのそれと比べて小さいので強度の小さい所をグローサでせん断するためと、グローサ間の粘土の側面積が小さく側面の摩擦抵抗がAタイプより小さいためであろう。しかし、けん引に伴って生じるB,

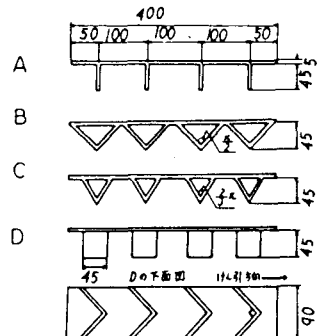
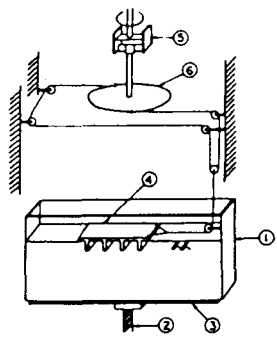


図1. 履帯モデルの概略図(単位mm)  
A: 種洋型 B: 直角三角形型  
C: 正三角形型 D: トラクション型



① Sample Box ④ Track Model  
② Jack ⑤ Torque Cell  
③ Table ⑥ Disk

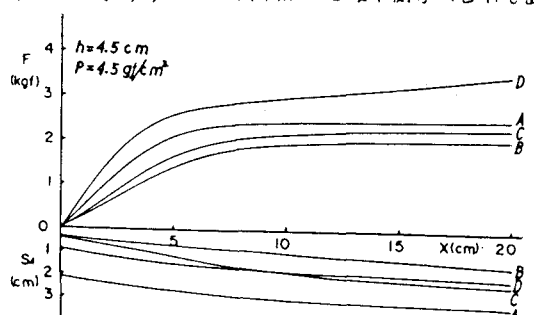


図3. けん引距離 $X$ とけん引抵抗 $F$ 、沈下量 $S_d$ の関係

C タイプのすべり沈下量は、A タイプと比べ大きいため、 $\gamma$ が10cm付近で  $F$  の値は、A タイプと比較して大差のない値となっている。B, C タイプの初期沈下量  $S_A$  が小さいのは、グローサ先端が三角形状をしているため沈下とともに、支持面積が増大するためである。

5. エネルギー解析<sup>3)</sup> 屋帯長70cm, 屋帯幅20cmのZトラックの実車を想定して、走行時のエネルギー解析をグローサ形状がA, B, C, D であるとして行った。走行時のエネルギー平衡方程式は次式で与えられる。

$$E_1 = E_2 + E_3 + E_4 + E_5 + E_6 \quad (2) \quad E_1: \text{有効入力エネルギー}, E_2: \text{買入変形エネルギー}, E_3: \text{スリップエネルギー}, E_4: \text{けん引引力エネルギー}, E_5: \text{屋帯上部の側面摩擦エネルギー}, E_6: \text{グローサ間の側面摩擦エネルギー}.$$

各エネルギー算出の基となる買入変形エネルギー  $E_D(8.76 \text{ kJ})$  せん断変形エネルギー  $E_V(4.46 \text{ kJ})$  は次式で表される

$$E_D = Q S_A^b \quad (3)$$

$$Q = 1.781, b = 1.582$$

$$E_V = C Z Y^d \quad (4)$$

$$Y: \text{せん断変位(cm)}, Z: \text{せん断深さ(cm)}$$

$$C = 0.0653, d = 1.665$$

また、 $S_A$  と  $S_D$  は次式で表される。

$$S_D = Q P^x \quad Q, P: \text{定数} \quad (5)$$

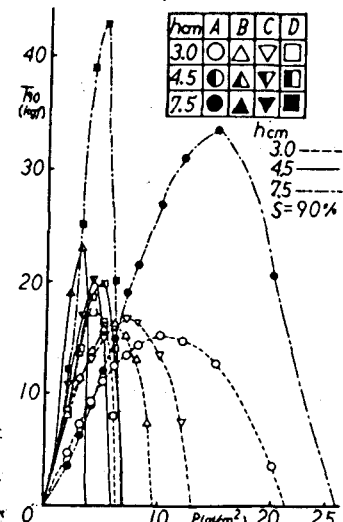
$$S_A = S_D + l \cdot v^m \cdot P^n \quad (6)$$

$$l, m, n: \text{定数}, v: \text{スリップ距離(cm)}$$

各屋帯タイプについて、 $Q, P, l, m, n$  の

表1  $u, v, l, m, n$  の値

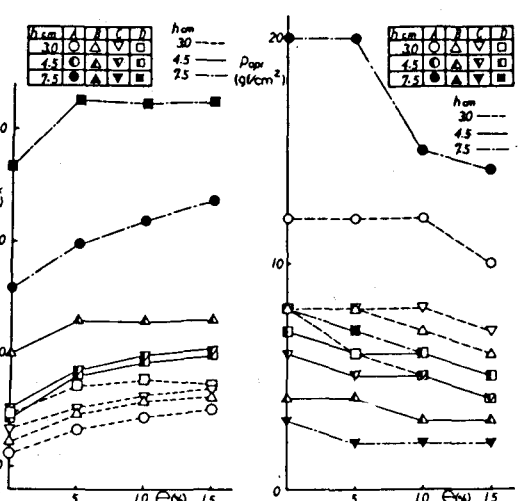
$h_{\text{cm}}$	$u$	$v$	$l$	$m$	$n$
A 3.0	0.763	1.016	0.0919	0.625	0.626
* 4.5	0.542	1.432	0.0673	1.539	0.359
* 7.5	0.240	1.424	0.0168	0.649	1.204
B 3.0	0.636	1.570	0.0283	0.715	0.754
* 4.5	0.271	2.770	0.0609	0.929	0.802
C 3.0	0.761	1.267	0.0730	0.837	0.495
* 4.5	0.438	2.001	0.0723	0.645	0.874
* 7.5	0.931	3.491	0.0919	0.873	0.226
D 3.0	0.418	2.142	0.0403	0.482	0.124
* 4.5	0.431	1.912	0.0646	0.539	0.815
* 7.5	0.219	2.626	0.0139	0.750	0.392



値をけん引試験結果より求め、その値を表1に示す。なお、図3において沈下量の基準は、屋帯の下面の中央とし、そして式(5)の場合には、グローサ先端としている。図4にPと有効けん引力  $T_{\text{max}}$  の関係を示す。  $h=4.5 \text{ cm}$  では、B タイプが最大の  $T_{\text{max}}$  を示し、  $h=3.0, 7.5 \text{ cm}$  では、D タイプが最大である。A タイプは、他と比べて大きなPで最大値を示し、その後、なだらかな曲線となる。偏心率  $\gamma$  と  $T_{\text{max}}$  の関係を図5に示す。  $\gamma$  の増加につれ  $T_{\text{max}}$  も増加しているが、  $\gamma = 10\%$  ほどで増加は落ちつくようである。なお、  $T_{\text{max}}$  は  $T_{\text{max}}$  の最大値である。また、最適接地圧  $P_{\text{opt}}$  と  $\gamma$  の関係を図6に示す。 $P_{\text{opt}}$  とは、  $\gamma$  の増加とともに減少している。

#### 6. まとめ エネルギー解析の結果では、 $h = 1.5 \text{ cm}$ の D

タイブのグローサが最大の  $T_{\text{max}}$  の値を示しているので、超軟弱地盤上の走行に適しているといえる。しかし、この解析では、グローサの地盤へのくい込み、けり出しによる走行抵抗を考慮していないためD ( $h=7.5 \text{ cm}$ ) タイプが実際に適しているかは、はっきり言えない。また、用いたデータがけん引距離20cmのけん引試験の結果によるため、より長い距離の試験を行い、式(6)の適合を調べる必要がある。試験結果によれば、式(6)とは異なり、  $T_{\text{max}}$  関係式を見い出し、長い距離の移動に適していく、くい込み、けり出しも考慮したエネルギー解析を行い、超軟弱地盤上を走行するのに適しているグローサ形状を明らかにしたい。



参考文献 ① 宮道朗、樺明潔、河原在一郎：超軟弱地盤と建設機械用履帯との相互作用、テラXカニ、72, 3, PP.13~20, 1983

② 宮道朗、樺明潔：超軟弱地盤における履帯式車輌の走行性能、筑波大学工学部紀要、10巻2号、PP.329~338、1983.